

เครื่องวัดแรงต้านทางอากาศพลศาสตร์ของวัตถุตันขนาดเล็ก

Aerodynamic Drag Measurement Machine of Small Solid Object

สัมพันธ์ ไชยเทพ และ ชาญชัย เจริญรุ่ง
ภาควิชาวิศวกรรมเครื่องกล คณะวิศวกรรมศาสตร์ มหาวิทยาลัยเชียงใหม่ 50200
โทร 053-942004, โทรสาร 053-941352, E-mail sumpun@eng.cmu.ac.th

Sumpun Chaitep and Chanchai Charoenruen
Department of Mechanical Engineering, Faculty of Engineering, Chiang Mai University 50200, Thailand
Tel. 053-942004, Fax. 053-941352, E-mail sumpun@eng.cmu.ac.th

บทคัดย่อ

งานวิจัยนี้ได้ออกแบบและสร้างอุปกรณ์ลมแบบดูดอากาศจากด้านบนลงสู่ด้านล่าง เพื่อศึกษาแรงต้านทางอากาศพลศาสตร์ของวัตถุตันขนาดเล็ก ภายใต้ความเร็วที่ต้องการ ทั้งที่ทดสอบเป็นแบบบีดแน่นทำสำเร็จแล้วให้ถูกในเส้นกระasseการไหลของอากาศ แรงต้านทางอากาศพลศาสตร์ที่เกิดขึ้นบนดัวอย่างทดสอบจะเกิดโดยเมนต์ตัดกระทำต่อแขนงรองรับน้ำ ซึ่งจะสามารถถ่ายค่าขนาดของโมเมนต์ตัดโดยสเตรนเกจ เมื่อมีแรงกระทำจะทำให้วงจรบริจจ์ของโอลด์เซลล์อันประกอบกับสเตรนเกจเกิดความไม่สมดุลจะเกิดสัญญาณความเครียดสัญญาณนี้จะถูกแปลงให้เป็นแรงกระทำและเก็บบันทึกโดยเครื่อง Weight Transmitter กับเครื่อง Online Datalogger จากนั้นเครื่องจะส่งข้อมูลผ่านพอร์ต RS232 เข้าสู่เครื่องคอมพิวเตอร์เพื่อบันทึกค่า การทดสอบได้กระทำกับเม็ดพลาสติกทรงกลมจำนวน 5 เม็ดความเร็วของอากาศที่ทดสอบจะเปลี่ยนแปลงตั้งแต่ 14-50 m/s

จากการวัดทดสอบค่าแรงต้านทางอากาศพลศาสตร์ของเม็ดพลาสติกทรง ซึ่งมีค่าความเป็นทรงกลมโดยเฉลี่ย 98.95% ได้กราฟค่าสัมประสิทธิ์แรงต้านทางอากาศพลศาสตร์ที่ยกับเรย์โนลัมเบอร์ มีค่าแรงต้านทางอากาศพลศาสตร์เท่ากับ 0.419 โดยเฉลี่ย ในช่วงของเรย์โนลัมเบอร์ 5,811 ถึง 11,381 และมีค่าสัมประสิทธิ์การตัดสินใจ (Coefficient of Determination) 0.8964 ซึ่งค่าแรงต้านทางอากาศพลศาสตร์ที่ได้จะมีค่าคาดเดาลือน 8.60% จากทรงกลมทางทฤษฎี [11]

ABSTRACT

A down-draught suction type wind tunnel was designed and constructed for investigation an aerodynamic drag of small solid object. The wind tunnel consisted of a supporting cantilever arm for fixing position of a test specimen with respect to the air stream. Drag forces acting on the test specimen caused by air motion were detected by a set of strain gage attached in the cantilever beam. Consequently weight transmitter and datalogger with software online were used for collecting the strain signal to

computer through a serial port RS232. The experiment was conducted by using plastic balls as a base reference. Air velocity setting in the experiment was varied from 14 to 50 meters per second.

Experimental results of aerodynamic drag of the reference plastic balls with average sphericity of 98.95 percent showed 8.60 percent of error of drag coefficient compared to a smooth sphere reported in texts elsewhere [11]. The experimental drag coefficient of sphere was obtained at 0.419 in the range of Reynolds number from 5,811 to 11,381 with coefficient of determination at 0.8964.

1. บทนำ

การวิเคราะห์และการสร้างเครื่องการวัดแรงต้านทางอากาศพลศาสตร์ที่ใช้วัดค่าแรงต้านทางอากาศพลศาสตร์ของเม็ดพลาสติกทรงกลมนี้ใช้สเตรนเกจแบบเต้มบริดจ์ (Full Bridge) เป็นดัวสั่งสัญญาณความเครียดและเปลี่ยนเป็นค่าแรงที่ทำการคำนวณหาค่าแรงต้านทางอากาศพลศาสตร์ที่เกิดขึ้น และยังสามารถนำเครื่องมือนี้ไปประยุกต์ใช้ในการหาค่าสัมประสิทธิ์แรงต้านทางอากาศพลศาสตร์ของสัตว์อื่นๆ ได้

2. ทฤษฎีที่เกี่ยวข้อง

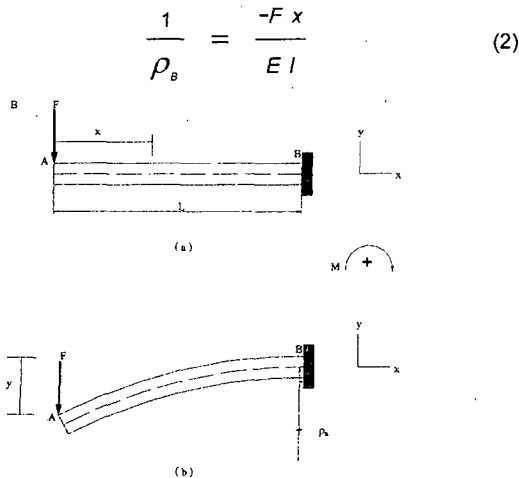
2.1 คานยืน

จากที่ทราบมาว่าค่านี้อยู่ภายใต้โมเมนต์ตัดเพียงอย่างเดียว ในช่วงยึดหยุ่นของคานจะถูกเป็นส่วนหนึ่งของเส้นรอบวงที่มีรัศมีเท่ากับ ρ_B ความโค้งของผิวเป็นกลางของคานยืน [9] คือ

$$\frac{1}{\rho_B} = \frac{M}{EI} \quad (1)$$

เมื่อคานอยู่ภายใต้แรงกระทำตามขวางของคาน ซึ่งค่าของโมเมนต์ตัดและความโค้งของคานจะเปรียบด้วย x โดยวัดจากปลายคาน

ด้านซ้าย และพิจารณาว่าเป็นคานยึดปลายซ้ายเดียว ยาว L มีแรง F กระทำที่ปลายอิสระ [9] ดังรูปที่ 1(a) จะได้



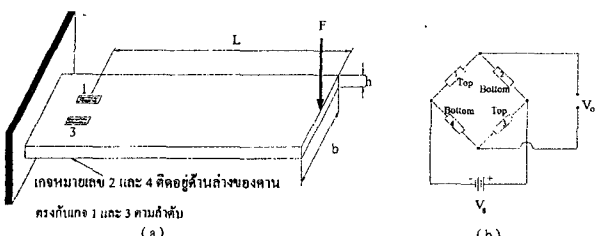
รูปที่ 1 คานยึนที่มีแรงกระทำที่ปลายคานและการโก่งลงของคานยึน [9]

การโก่งลงของคานยึนดังรูปที่ 1(b) ซึ่งจะสัมพันธ์กับแรง F ที่กระทำ [9] จะได้

$$F = \frac{-3EI}{L^3} \quad (3)$$

2.2 มีท่าไฟล์เพลตเซลล์ (Beam Type Load Cell)

จากรูปที่ 2(a) เป็นรูปคานยึนชี้มีสเตรนเกจสองอันติดอยู่ที่ผิวด้านบนของคานและอีกสองอันติดที่ผิวด้านล่างของคาน สเตรนเกจทั้งหมดติดอยู่ในแนวขวางกับแกนของคาน ซึ่งทำหน้าที่เป็นชิ้นส่วนยึดหยุ่นและเป็นเครื่องส่งสัญญาณสำหรับการทดลองนี้ ซึ่งจะจะต่อ กับสวิตซ์ตอนบิดรัดดังรูปที่ 2(b)



รูปที่ 2 การติดตั้งสเตรนเกจบนคานยึนและการต่อวงจรของสเตรนเกจ [10]

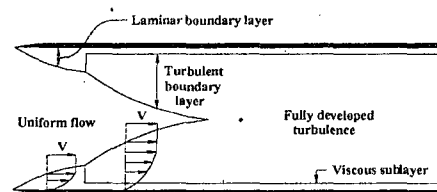
การที่เลือกใช้วิสโตรนบริดจ์แบบนี้จะเป็นเอกสารที่เก่าจึงสืดตัว โดยสเตรนเกจจะต่อเข้ากับแนวบริดจ์แขนลงกลาง ดังนั้นอัตราส่วนความต้านทาน $r = R_2/R_1 = 1$ ขณะที่เกิดติดตั้งอยู่บนคาน เมื่อคานยึนเกิดการโก่งลงด้วยแรง F จะเกิดความเครียดดึงบนเกจหนึ่งและสามซึ่งติดอยู่ที่ผิวด้านบนของคานและความเครียดอัดบนเกจสองและสี่ซึ่งติดอยู่ที่ผิวด้านล่างของคาน

เมื่อแรง F กระทำที่คานยึนจะทำให้เกิดโมเมนต์ $M = Fx$ ที่ตำแหน่ง x ทำให้เกิดความเครียด (ϵ) ขึ้นในคานยึน [10] จะได้

$$\epsilon_1 = -\epsilon_2 = \epsilon_3 = -\epsilon_4 = \frac{6M}{Ebh^2} = \frac{6Fx}{Ebh^2} \quad (4)$$

2.3 ขั้นการไฟลของของไอล

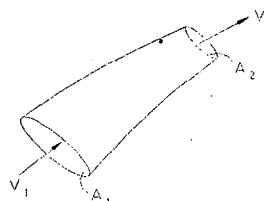
เมื่อของไอลไฟลผ่านผิวด้วยความเร็วของของไอลที่จุดสัมผัสดับของแข็งจะเป็นศูนย์ Velocity Gradient ที่จุดนี้จะมากที่สุด และความเค้นเนื้อนจะสูงที่สุด ทั้งนี้ถ้าหากของไอลไม่มีความหนืดเลย ($\mu = 0$) ความเค้นเนื้อก็ไม่มีและไม่มีการไหลระหว่างชั้นของของไอล



รูปที่ 3 ขั้นการไฟลของของไอลในท่อ [11]

พิจารณารูปที่ 3 ซึ่งเป็นการไฟลที่ความเร็วของของไอลผ่านเข้าสู่ท่ออันหนึ่ง การไฟลของของไอลเกิดขึ้นที่ผิวน้ำท่อตอนเริ่มเข้า และความหนาจะเพิ่มขึ้นเรื่อยๆ ไปจนกระทั่งเจอกับชั้นที่เกิดจากผนังตรงข้ามของท่อ ณ จุดศูนย์กลางของห่อ โดยเรียกว่าจุด Fully Developed Turbulence ซึ่งจะพบที่ประมาณ 50 เท่าของเส้นผ่าศูนย์กลางห่อ ความหนาสูงสุดของชั้นการไฟลของของไอล ในกรณีของห่อจะเป็นรัศมีภายในห่อนั้นเอง ลักษณะการไฟลเมื่อเกิดเป็นชั้นการไฟลของของไอลที่จุดด่างๆ ภายในห่อ อาจจะเป็นการไฟลแบบรบกวนเรียบหรือบันบวน ขึ้นอยู่กับความหนาแน่นของของไอล ความหนืดของของไอล เส้นผ่าศูนย์กลางของห่อ และความเร็วของของไอล

2.4 สมการการไฟลต่อเนื่อง



รูปที่ 4 ลักษณะการไฟลที่ถูกควบคุมปริมาตร [1]

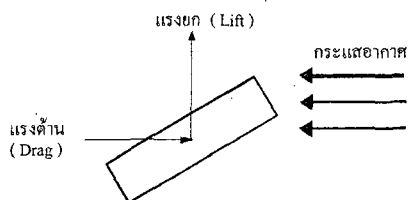
สมการการไฟลต่อเนื่องสามารถพิสูจน์ได้จากการดำเนินการไฟลขนาดสั้น ซึ่งประกอบขึ้นด้วยเส้นที่ไฟลจำนวนมากเป็นผนังของการไฟล ไม่มีความเร็วในแนวตั้งจากกับเส้นการไฟล และไม่มีของไอลเดิมหลอดผ่านผนังของลักษณะการไฟลได้ จะผ่านได้เฉพาะด้านปลายหัวหอกเท่านั้น บริเวณที่ถูกจำกัดระหว่างปลายหัวหอกของลักษณะการไฟลนี้คือ ปริมาตรกำหนด (Control Volume) หรือลักษณะการไฟลที่ถูกควบคุมปริมาตรนั้นเอง ซึ่งแสดงดังรูปที่ 4 กล่าวได้ว่าปริมาณมวลสารในระบบไม่มีการสูญหาย

$$\rho_1 A_1 V_1 = \rho_2 A_2 V_2 \quad (5)$$

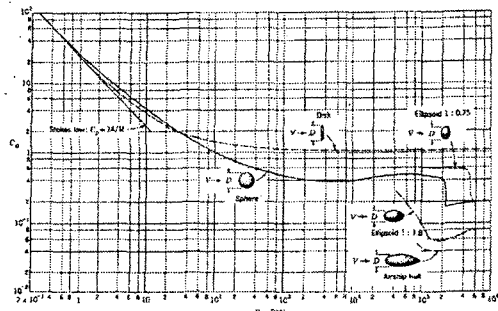
2.5 แรงที่เกิดกับวัตถุที่จมอยู่ในของเหลว

แรงต่างๆ ที่เกิดขึ้นต่อวัตถุที่จมอยู่ในของเหลวซึ่งของเหลวอาจจะมีลักษณะการไหลเป็นแบบราบเรียบ หรือ ปั่นป่วน หรือเป็นแบบผสมของทั้งสองอย่างก็ได้ แรงที่เกิดขึ้นสามารถแบ่งออกได้เป็น 2 ชนิด คือ

1. แรงด้านเป็นแรงในทิศตรงข้ามกับแนวการเคลื่อนที่ของของเหลว
2. แรงยากเป็นแรงที่มีทิศทางตั้งฉากกับการเคลื่อนที่นั้น



รูปที่ 5 แรงที่เกิดกับวัตถุที่จมอยู่ในของเหลว [6]



รูปที่ 4 กราฟแรงด้านทางอากาศพลศาสตร์ของทรงกลม [11]

สมการสำหรับแรงด้านทางอากาศพลศาสตร์

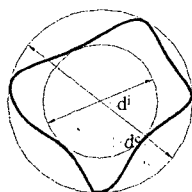
$$C_d = \frac{2 F_d D}{AV Re \mu} \quad (6)$$

ค่าเรย์โนลัมเบอร์ Re [11]

$$Re = \frac{\rho V D}{\mu} = \frac{DV}{\nu} \quad (7)$$

2.6 การประมาณค่าความเป็นทรงกลม (Sphericity)

จากทฤษฎีของเรขาคณิตพบว่าขั้นตอนในการหาความเป็นทรงกลม จะขึ้นอยู่กับเส้นรอบรูปของทรงกลม การประมาณค่าความเป็นทรงกลม อธิบายได้โดยสมการ (8)



รูปที่ 6 การประมาณค่าความเป็นทรงกลม [14]

$$\text{Sphericity} = \frac{d_1 \cdot d_2}{D} \quad (8)$$

จากการทดลองการหาความเป็นทรงกลมจะมีความสัมพันธ์กับการหาปริมาตรของทรงกลม โดยสมมุติว่าปริมาตรของทรงกลมมีค่าเท่ากับปริมาตรที่ได้จากการคำนวณแบบแกน X Y Z ที่มีขนาด a, b, c ตามลำดับ และขนาดเส้นผ่าศูนย์กลางของเส้นรอบรูปทรงกลม [14]

$$\text{Sphericity} = \left(\frac{\text{Volume of solid}}{\text{Volume of circumscribed sphere}} \right)^{\frac{1}{3}} \quad (9)$$

$$\text{Sphericity} = \left[\frac{(\pi/6)abc}{(\pi/6)a^3} \right]^{\frac{1}{3}} = \left(\frac{bc}{a^2} \right)^{\frac{1}{3}} \quad (9)$$

$$\text{Sphericity} = \frac{\text{geometric mean diameter}}{\text{major diameter}}$$

$$\text{Sphericity} = \frac{(abc)^{\frac{1}{3}}}{a} \quad (10)$$

2.7 อุ่มงค์ลม

อุ่มงค์ลมเป็นเครื่องมือที่สร้างการให้เหลวของอากาศที่สามารถควบคุมการให้เหลวทั้งความเร็วของการไหลและการบังคับให้การไหลเกิดความرابเรียนมีความบันปวนน้อยที่สุด โดยอุ่มงค์ลมที่ออกแบบและสร้างขึ้นนี้จะเป็นแบบดูดอากาศทางด้านบน ซึ่งอากาศจะเข้าทางด้านบนโดยแรงดูดของพัดลม อากาศที่ถูกดูดเข้ามาในอุ่มงค์ลมโดยผ่านปากกรวยเพื่อบีบเส้นกระแซของอากาศเข้าหากันเป็นการลดความบันปวนของอากาศ อากาศผ่านห้องทดสอบแล้วถูกดูดออกไปโดยพัดลม ที่ด้านหน้าของห้องที่ดูดอากาศออกจากอุ่มงค์ลมซึ่งอยู่ในอุ่มงค์ลมนั้นจะเจาะเป็นรูเล็กๆ รอบๆ ห้องไว้เพื่อลดการคงข่องอากาศในช่วงห้องทดสอบอัตราการไหลของอากาศสามารถปรับได้

3. วิธีดำเนินการทดสอบ

เพื่อให้การทดสอบดำเนินไปอย่างถูกต้องและประสบผลสำเร็จ จำเป็นต้องทราบถึงวัตถุประสงค์ของการทดสอบ อุปกรณ์การทดสอบ วิธีการทดสอบและการวิเคราะห์ผลการทดสอบ มีรายละเอียดดังนี้

3.1 วัตถุประสงค์การทดสอบ

3.1.1 ออกแบบและสร้างเครื่องวัดแรงด้านทางอากาศพลศาสตร์

3.1.2 ศึกษาหาค่าสัมประสิทธิ์แรงด้านทางอากาศพลศาสตร์ของเม็ดพลาสติกทรงกลม

3.2 ตัวแปรสำหรับการทดสอบ

3.2.1 เม็ดพลาสติกทรงกลมจำนวน 5 เม็ด โดยเม็ดพลาสติกทรงกลมที่ใช้ในการทดสอบจะมีการวัดขนาดของเม็ดพลาสติกโดยใช้เวอร์เนียคลิปเปอร์แบบดิจิตอลวัดขนาด โดยจะวัดขนาดตามแนวแกน X Y Z ซึ่งตั้งจากซึ่งกันและกัน [13] และเม็ดพลาสติกทรงกลมมีความเป็นทรงกลม ซึ่งคำนวณได้จากสมการที่ 10 ค่าความเป็นทรงกลมโดยเฉลี่ยของเม็ดพลาสติกเป็น 98.95% ดังตารางที่ 1

3.2.2 ความเร็วของอากาศที่ใช้ในการทดสอบจะเปลี่ยนความเร็ว

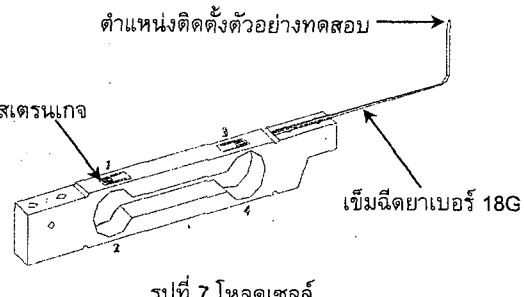
ของอาคารในห้องทดสอบ เป็นจำนวน 7 ค่า โดยการควบคุมความเร็ว รอบของมอเตอร์

ตารางที่ 1 ขนาดของเม็ดพลาสติกทรงกลม

ลำดับที่	เส้นผ่าศูนย์กลางตามแนวนอน (mm)			หนึ่งชั้น (mm)	ความเป็นทรงกลม (%)
	X	Y	Z		
1	5.04	4.91	4.84	4.93	97.80
2	4.95	4.88	4.93	4.92	99.39
3	4.97	4.78	4.95	4.90	98.58
4	4.95	4.92	4.92	4.93	99.60
5	4.93	4.89	4.88	4.90	99.39

3.3 อุปกรณ์การทดสอบ

3.3.1 โหลดเซลล์ (Load Cell) มีคุณสมบัติดังนี้สามารถวัดน้ำหนักได้สูงสุด 500 กรัม (4.905 นิวตัน) ค่า Rate Output 1 mV/V ความผิดพลาด $\pm 0.015\%$ ของค่า Rate Output แรงดันกระดับน้ำหนักจะเป็นกระแสไฟตรง (DC) 5 ถึง 12 โวลต์ โหลดเซลล์จะเป็นแบบ Beam Type Load Cell คานจะทำมาจากอลูมิเนียม มีสเตรนเกจติดตั้งทั้งหมด สี่ตัวซึ่งเป็นแบบเติมบริสุทธิ์ โหลดเซลล์จะติดตั้งอยู่นอกห้องทดสอบจะมีเฉพาะส่วนที่เป็นเข็มวัดยาเบอร์ 18G เท่านั้นที่ยื่นเข้าไปในห้องทดสอบ เป็นระยะ 20 mm



รูปที่ 7 โหลดเซลล์

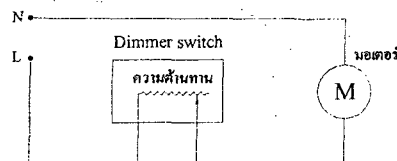
3.3.2 ส่วนบันทึกข้อมูล จะประกอบด้วย 2 ส่วนด้วยกัน คือ

3.3.2.1 เครื่อง Weight Transmitter (WT95) มีคุณสมบัติดังนี้ ยี่ห้อ Wisco เป็นส่วนขยายข้อมูล สามารถใช้งานได้กับโหลดเซลล์ ที่มีค่า Rate Output ได้ตั้งแต่ 0.4 ถึง 3 mV/V รับสัญญาณเข้าได้ทั้ง สัญญาณดิจิตอล (Digital) และสัญญาณอนาล็อก (Analog) จ่ายแรงดันไฟกระดับโหลดเซลล์เป็นไฟฟ้ากระแสตรงขนาด 12 โวลต์ ปรับขยายสัญญาณแรงดันออกจากเครื่อง Weight Transmitter เป็นไฟฟ้ากระแสตรงตั้งแต่ 0 ถึง 10 โวลต์ ใช้แรงดันไฟฟ้ากระดับน้ำหนักไฟฟ้ากระแสลับขนาด 220 โวลต์ ความตี่ 50 เฮิร์ต ความผิดพลาด $< 0.1\%$ ของ Span เครื่อง Weight Transmitter จะเป็นส่วนที่รับสัญญาณจากโหลดเซลล์ซึ่ง เป็นสัญญาณอนาล็อก ขยายและกรองสัญญาณให้เรียบโดย Filter และ ส่งสัญญาณต่อไปยังเครื่อง Online Excel Datalogger (OD95)

3.3.2.2 เครื่อง Online Excel Datalogger (OD95) มี คุณสมบัติดังนี้ ยี่ห้อ Wisco ทำหน้าที่ เป็นส่วนรับสัญญาณโดยจะรับ สัญญาณจากเครื่อง Weight Transmitter สามารถรับสัญญาณอนาล็อก ได้ 8 ช่องสัญญาณ และแบบดิจิตอล 4 ช่องสัญญาณ ใช้แรงดันไฟ

กระดับเป็นไฟฟ้ากระแสลับขนาด 220 โวลต์ ความตี่ 50 เฮิร์ต จะ ทำงานโดยรับสัญญาณจากเครื่อง Weight Transmitter และส่งสัญญาณ ข้อมูลเข้าสู่เครื่องคอมพิวเตอร์โดยผ่านพอร์ต RS232 เพื่อแสดงผลและ บันทึกในคอมพิวเตอร์ในรูปไฟล์ข้อมูล File.dat

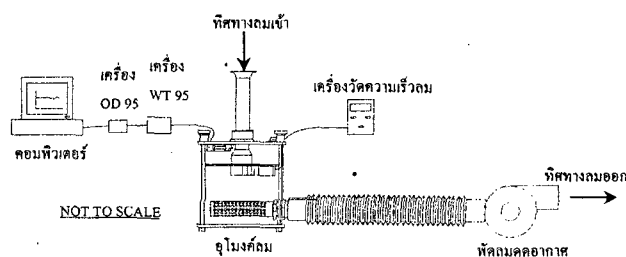
3.3.3 Dimmer switch มีคุณสมบัติดังนี้ ยี่ห้อ O - Sawa เป็น Dimmer Switch ชนิดความต้านทานปรับค่าได้ มีขนาด 500 วัตต์ ใช้สำหรับควบคุมอัตราการไฟหลอดของอาคารที่จะออกจากยูโม่ค์ลิม ซึ่งจะ ควบคุมการจ่ายกระแสไฟที่ให้กับมอเตอร์ โดยการปรับค่าความต้านทานที่ Dimmer Switch เมื่อความต้านทานเปลี่ยนก็จะทำให้กระแสไฟฟ้าที่จ่ายให้กับมอเตอร์เปลี่ยนแปลงไป มอเตอร์จะมีความเร็วรอบที่เปลี่ยนไป เมื่อความต้านทานมีค่ามากขึ้นมอเตอร์ก็จะหมุนด้วย ความเร็วรอบลดลง



รูปที่ 8 การต่อ Dimmer Switch กับ มอเตอร์ [5]

3.3.4 พัดลมดูดอากาศ มีรายละเอียดดังนี้ เป็นแบบเหวี่ยงหนีบคุณ์ ใช้มอเตอร์ไฟฟ้ากระแสสลับ 1 เฟส แบบบินดักชันมอเตอร์ (Induction Motor) ชนิดคายพาชีเตอร์มอเตอร์ (Capacitor Motor) [5] แรงดันไฟกระดับเป็นไฟฟ้ากระแสลับขนาด 220 โวลต์ ความตี่ 50 เฮิร์ต มี ความเร็วรอบหมุนขณะทำงานเต็มที่ 2,000 รอบต่อนาที

3.3.5 เครื่องวัดความเร็วลม ซึ่งมีรายละเอียดดังนี้ ยี่ห้อ Digicon รุ่น DA-43 มีช่วงการวัดความเร็วลมตั้งแต่ 0 ถึง 50 m/s ความผิดพลาด $\pm 2\%$ ของค่าที่อ่านได้ ความละเอียดของการวัด 0.1 m/s สามารถวัด อุณหภูมิได้ตั้งแต่ 0 ถึง 50°C ความผิดพลาด 0.8°C ความละเอียดของ การวัด 0.1°C ช่วงการทำงานของเครื่องมือวัดนี้ที่อุณหภูมิตั้งแต่ 0 ถึง 50°C เปอร์เซ็นต์ความชื้นน้อยกว่า 80% หัววัดความเร็วลมเป็นแบบใบ พัดจำนวน 8 ใบ หัววัดอุณหภูมิซึ่งติดตั้งไว้ภายในหัววัดความเร็วลมจะ เป็น Thermocouple ชนิด K เครื่องมือวัดความเร็วลมนี้จะใช้แรงดัน กระดับเป็นไฟฟ้ากระแสตรงขนาด 9 โวลต์



รูปที่ 9 อุปกรณ์การทดสอบและเครื่องมือวัด

3.3 วิธีการวิเคราะห์ผล

3.3.1 คุณสมบัติของอาคารในห้องทดสอบ

ก่อนที่จะทำการศึกษาวิจัย จะต้องทราบคุณลักษณะของ

อากาศในห้องทดสอบของอุ่มงค์ล์ม ได้แก่ อุณหภูมิ ความเร็ว ความดัน และความหนาแน่น การวัดอุณหภูมิของอากาศสามารถวัดได้โดยตรง (จากเครื่องมือวัดความเร็วลม)

ความเร็วของอากาศในห้องทดสอบสามารถคำนวณได้จาก

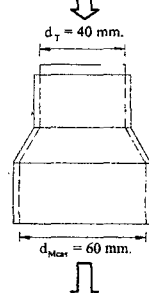
$$\rho_t A_t V_t = \rho_{\text{Meas}} A_{\text{Meas}} V_{\text{Meas}} \quad (11)$$

เมื่อ $\rho_t \approx \rho_{\text{Meas}}$ จะได้

$$A_t V_t = A_{\text{Meas}} V_{\text{Meas}} \quad (12)$$

$$V_t = \frac{A_{\text{Meas}} V_{\text{Meas}}}{A_t} \quad (13)$$

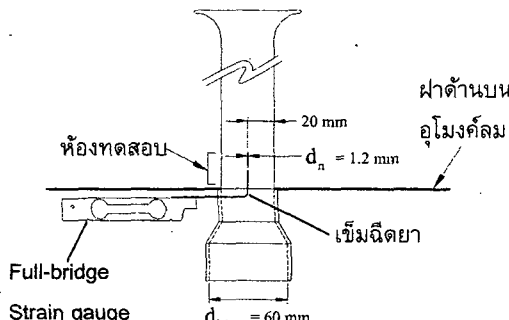
ห้องทดสอบ



เครื่องมือวัดความเร็วลม

รูปที่ 10 ข้อต่อเครื่องมือวัดความเร็วลม

3.3.1.1 ความเร็วลมในห้องทดสอบ กรณีของเข็มฉีดยาสำหรับติดตั้งตัวอย่างทดสอบ (ไม่มีการติดตั้งตัวอย่างทดสอบ)



รูปที่ 11 เข็มฉีดยาที่อยู่ในห้องทดสอบ

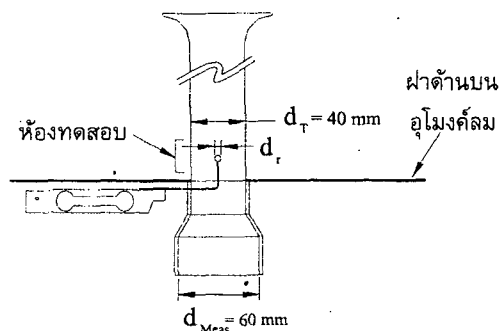
$$V_t = \frac{A_{\text{Meas}}}{A_t - A_n} V_{\text{Meas}} \quad (14)$$

$$V_t = \frac{(d_{\text{Meas}})^2}{(d_t - d_n)^2} V_{\text{Meas}} \quad (15)$$

3.3.1.2 ความเร็วลมในห้องทดสอบ กรณีติดตั้งทรงกลมทดสอบ

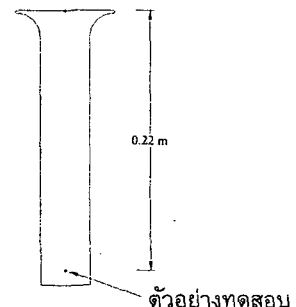
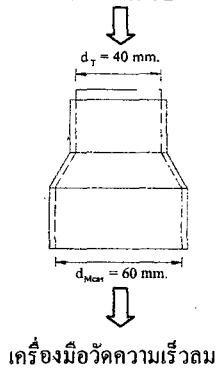
$$V_t = \frac{A_{\text{Meas}}}{A_t - A_r} V_{\text{Meas}} \quad (16)$$

$$V_t = \frac{(d_{\text{Meas}})^2}{(d_t - d_r)^2} V_{\text{Meas}} \quad (17)$$



รูปที่ 12 ทรงกลมที่อยู่ในห้องทดสอบ

ความดันอากาศ (P_t) และความหนาแน่นของอากาศ (ρ_t) ภายในห้องทดสอบ หาได้จากการวัดความดันบรรยายกาศ วัดโดย Barometer ส่วนความดันในห้องทดสอบของอุ่มงค์ล์มจะมีความดันสูญเสียที่ห้องเข้า ในที่นี่ปากแต่จะมีค่าสัมประสิทธิ์การสูญเสีย $K = 0.05$ [13]

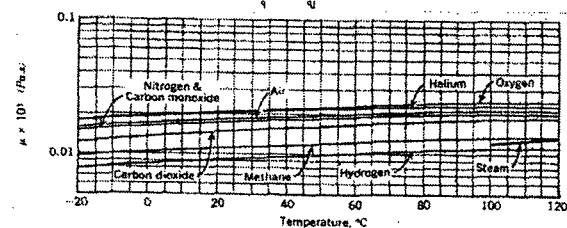


รูปที่ 13 ระยะจากปากแตรถึงตัวอย่างทดสอบ

$$P_t = \frac{573.6(t_s + 273.15)P_{\text{atm}}}{573.6(t_s + 273.15) + 1.05V_t^2 - 4.3164} \quad (18)$$

$$\rho_t = \frac{2P_{\text{atm}}}{573.6(t_s + 273.15) + 1.05V_t^2 - 4.3164} \quad (19)$$

ความหนืดสัมบูรณ์ของอากาศในห้องทดสอบ จะขึ้นอยู่กับอุณหภูมิของอากาศในห้องทดสอบ ซึ่งความหนืดสัมบูรณ์ของอากาศหรือวิธีได้จากการภาพรูปที่ 14 จากภาพจะเห็นได้ว่าความสัมพันธ์ระหว่างความหนืดสัมบูรณ์ของอากาศและอุณหภูมิจะมีความชันเป็นเส้นตรง เมื่อพิจารณาความสัมพันธ์ทั้งสองที่อุณหภูมิในช่วง 20 – 30°C



รูปที่ 14 ค่าความหนืดสัมบูรณ์ของอากาศ [15]

เมื่อพิจารณาความสัมพันธ์ระหว่างความหนืดสัมบูรณ์ของอากาศ และอุณหภูมิ จะเป็นไปตามสมการ

$$\mu_r = C_1 t_r + C_2 \quad (20)$$

โดยที่ $t_r = 20^\circ\text{C}$ มีค่า $\mu_r = 1.81 \times 10^{-5} \text{ Pa}\cdot\text{s}$

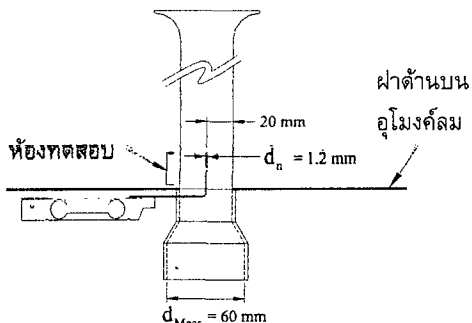
$t_r = 30^\circ\text{C}$ มีค่า $\mu_r = 1.86 \times 10^{-5} \text{ Pa}\cdot\text{s}$

เมื่อ C_1 และ C_2 เป็นค่าคงที่ ดังนี้

$$\mu_r = 5 \times 10^{-8} t_r + 1.71 \times 10^{-5}$$

สำหรับช่วง อุณหภูมิ $20^\circ\text{C} \leq t_r \leq 30^\circ\text{C}$ (21)

3.3.2 เรย์โนลัมเบอร์ของเข็มฉีดยาที่อยู่ในห้องทดลองที่เกิดจาก แรงต้านติดตัว



รูปที่ 15 เข็มฉีดยาสำหรับติดตั้งตัวอย่างทดสอบ

$$Re_L = \frac{\rho_r V_n d_n}{\mu_r} \quad (22)$$

โดยที่ d_n คือ เส้นผ่าศูนย์กลางของเข็มฉีดยาเบอร์ 18G ที่ติดอยู่ที่ปลายโหลดเซลล์เท่ากับ $1.2 \times 10^{-3} \text{ m}$

$$Re_L = 1.2 \times 10^{-3} \left(\frac{\rho_r V_n}{\mu_r} \right) \quad (23)$$

3.3.3 สัมประสิทธิ์แรงต้านทางอากาศพลศาสตร์ของเข็มฉีดยาที่อยู่ ในห้องทดสอบ

$$C_{D_L} = \frac{2F_L}{\rho_r A_n V_n^2} \quad (24)$$

โดยที่ A_n คือ พื้นที่ฉายของเข็มฉีดยาที่ติดอยู่ที่ปลายโหลดเซลล์ที่อยู่ในห้องทดสอบ

$$A_n = d_n \times \frac{1}{2} d_T = 2.4 \times 10^{-5} \text{ m}^2$$

$$C_{D_L} = \frac{F_L}{2.4 \times 10^{-5} \rho_r V_n^2} \quad (25)$$

3.3.4 เรย์โนลัมเบอร์ของเม็ดพลาสติกทรงกลม

$$Re_r = \frac{\rho_r V_n d_r}{\mu_r} \quad (26)$$

3.3.5 สัมประสิทธิ์แรงต้านทางอากาศพลศาสตร์ของเม็ดพลาสติก ทรงกลม

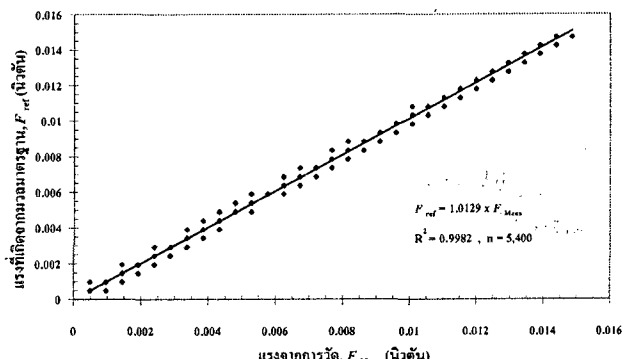
$$C_{D_L} = \frac{2(F_r - F_L)}{\rho_r A_r V_n^2} \quad (27)$$

4. ผลการทดสอบและวิจารณ์ผลการทดสอบ

ผลการทดสอบการสร้างเครื่องวัดแรงต้านทางอากาศพลศาสตร์สามารถแยกได้ดังนี้

4.1 ผลปรับเทียบค่าของเครื่องวัดแรงต้านทางอากาศพลศาสตร์ กับน้ำหนักมาตรฐาน

นำน้ำหนักมาตรฐานที่ใช้ในการทดสอบจะใช้ตั้งแต่ 0 ถึง 1.5 กิโล (แรงนึ่งจากน้ำหนักมาตรฐาน 0 ถึง 0.014715 นิวตัน) โดยจะเพิ่มน้ำหนักมาตรฐานขึ้นครั้งละ 0.05 กิโล



รูปที่ 16 การปรับเทียบเครื่องวัดต้านทางอากาศพลศาสตร์ กับน้ำหนักมาตรฐาน

จากรูปที่ 16 จะเป็นความสัมพันธ์ระหว่างค่าแรงที่ได้จากการวัด F_{Meas} เทียบกับค่าแรงที่เกิดจากน้ำหนักมาตรฐาน F_{ref} ได้ดังสมการ

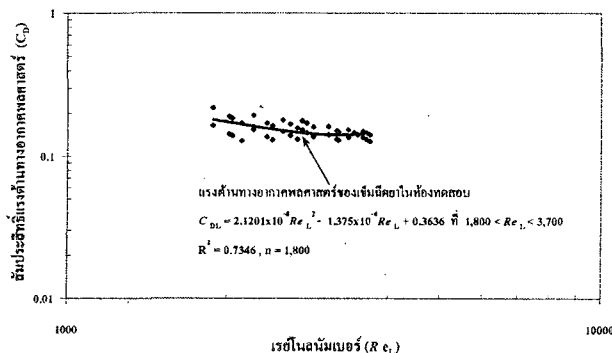
$$F_{ref} = 1.0129 \times F_{Meas} \quad (28)$$

เมื่อนำค่า F_{Meas} ที่ได้จากการทดสอบ ไปเทียบกับค่า F_{ref} ที่ใช้จากข้อมูลพบว่ามีความคลาดเคลื่อนประมาณ 2.15% โดยเฉลี่ย

4.2 ค่าแรงต้านทางอากาศพลศาสตร์ของเข็มที่อยู่ในห้องทดสอบ

จากรูปที่ 17 จะเห็นได้ว่าแรงต้านทางอากาศพลศาสตร์ของเข็มจะมีค่าลดลงเมื่อความเร็วของอากาศเพิ่มขึ้นโดยที่ค่าจะกระจายอยู่ในช่วง 0.1-0.3 และจะได้ค่าแรงต้านทางอากาศพลศาสตร์ ดังสมการ

$$C_{D_L} = 2.1201 \times 10^{-8} Re_L^{-2} - 1.375 \times 10^{-4} Re_L + 0.3036 \quad (29)$$

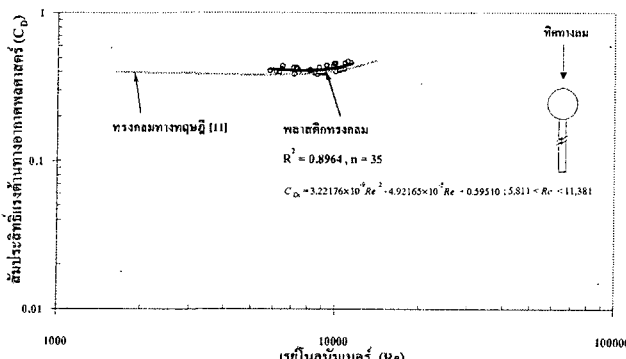


รูปที่ 17 สัมประสิทธิ์แรงต้านทางอากาศพลศาสตร์ของเข็มฉีดยาที่อยู่ในห้องทดสอบ

สมการที่ 29 ใช้สำหรับหาค่า C_{DL} ที่มีค่าเรียนโนลัมเบอร์อยู่ในช่วง $1,800 < Re_L < 3,700$

นำค่า C_{DL} ที่ได้จากสมการที่ 29 เทียบกับค่า C_{DL} ที่ใช้จากข้อมูลพบว่ามีความคลาดเคลื่อนประมาณ 6.48% โดยเฉลี่ย

4.3 ค่าแรงต้านทางอากาศพลศาสตร์ของเม็ดพลาสติกทรงกลม



รูปที่ 18 สัมประสิทธิ์แรงต้านทางอากาศพลศาสตร์ของเม็ดพลาสติกทรงกลม

จากรูปที่ 18 จะเห็นว่ามีแรงต้านทางอากาศพลศาสตร์เท่ากับ 0.419 โดยเฉลี่ย ในช่วงของเรียนโนลัมเบอร์ 5,811 ถึง 11,381 จะมีค่าคลาดเคลื่อน 8.60% จากทรงกลมทางทฤษฎี [11]

5. สรุปผลการศึกษาวิจัย

5.1. ความเร็วของอากาศในอุโมงค์ลมจะมีอิทธิพลโดยตรงกับค่าแรงต้านทางอากาศพลศาสตร์ของตัวอย่างทดสอบโดยพิจารณาว่ากระแสอากาศเป็นการไหลแบบปั่นป่านน้อยๆ เพราะ

5.1.1. อากาศที่ไหลผ่านวัตถุตันลงไปประสมทางด้านล่างของอุโมงค์ลมก่อนที่จะถูกดูดออกสู่บรรยากาศทำให้การไหลของอากาศที่เข้าอุโมงค์ลมมีการไหล慢ๆ แล้วความชุกรอบหัวทางเข้าซึ่งเป็นหัวแก้วจึงมีผิวนี้เรียบ

5.1.2. ตำแหน่งของตัวอย่างทดสอบในห้องทดสอบจะมีระยะห่างน้อย (ประมาณ 5 เท่าของเส้นผ่าศูนย์กลางหัว จากรูปที่ 13) จาก

ปากทางเข้าของอุโมงค์ลม ดังนั้นจึงไม่มีจุด Fully Develop ของขوبเหตุนี้

5.2. จากการทดสอบค่าแรงต้านทางอากาศพลศาสตร์ของเม็ดพลาสติกทรงกลม ค่าแรงต้านทางอากาศพลศาสตร์เท่ากับ 0.419 โดยเฉลี่ย ในช่วงของเรียนโนลัมเบอร์ 5,811 ถึง 11,381 ซึ่งค่าแรงต้านทางอากาศพลศาสตร์ที่ได้จะมีค่าคลาดเคลื่อน 8.60% จากทรงกลมทางทฤษฎี [11] หัวนี้อาจจะเนื่องมาจากความแตกต่างของเงื่อนไขการทดสอบต่างๆ ดังนี้ เงื่อนไขของกระแสและอิสระ การรับกวนจากจุดติดตั้งการทดสอบ และความชุกรอบหัวของเม็ดพลาสติกทรงกลม

6. อักษรย่อและสัญลักษณ์

- A พื้นที่ของวัตถุที่สัมผัสนับของไอล (m^2)
- A_{Meas} พื้นที่หน้าตัดของเครื่องมือวัดความเร็วลม (m^2)
- A_n พื้นที่ของเข็มที่อยู่ในห้องทดสอบ (m^2)
- A_r พื้นที่ของเม็ดพลาสติกทรงกลมในห้องทดสอบ (m^2)
- A_t พื้นที่หน้าตัดของห้องทดสอบ (m^2)
- b ความกว้างของหน้าตัดคาน (m)
- C ค่าคงที่
- C_D สัมประสิทธิ์แรงต้านทางอากาศพลศาสตร์
- C_{DL} สัมประสิทธิ์แรงต้านทางอากาศพลศาสตร์ของเข็มที่อยู่ในห้องทดสอบ
- C_{Dr} สัมประสิทธิ์แรงต้านทางอากาศพลศาสตร์ของเม็ดพลาสติกทรงกลม
- D เส้นผ่าศูนย์กลางวัตถุที่ของไอล/ไอลผ่าน (m)
- d_{Meas} เส้นผ่าศูนย์กลางของหัววัดความเร็วลม (m)
- d_n เส้นผ่าศูนย์กลางเข็มที่อยู่ในห้องทดสอบ (m)
- d_r เส้นผ่าศูนย์กลางของเม็ดพลาสติกทรงกลม (m)
- d_t เส้นผ่าศูนย์กลางของห้องทดสอบ (m)
- E ต้นน้ำความยืดหยุ่น (N/m^2)
- F_0 แรงด้านทั้งหมด (N)
- F_L แรงที่กระทำกับเข็มที่อยู่ในห้องทดสอบ (N)
- F_r แรงที่กระทำกับเม็ดพลาสติกทรงกลม (N)
- h ความหนาของหน้าตัดคาน (m)
- I โมเมนต์ความเฉี่ยว (m^4)
- K ค่าสัมประสิทธิ์การสูญเสียของปากแตรมีค่าเท่ากับ 0.05
- L ความยาวของคาน (m)
- M โมเมนต์ตัด (Nm)
- m จำนวนครั้งของการทดสอบ
- n จำนวนของตัวอย่างทดสอบ
- P_{atm} ความดันบรรยากาศ (N/m^2)
- P_r ความดันในห้องทดสอบ (N/m^2)
- R ความต้านทานของสเตตันเกจ (Ohm)
- Re เเรียนโนลัมเบอร์
- Re_L เเรียนโนลัมเบอร์ของเข็มที่อยู่ในห้องทดสอบ
- Re_r เเรียนโนลัมเบอร์ของเม็ดพลาสติกทรงกลม
- t_s อุณหภูมิสัมบูรณ์ (K)

V	ความเร็วเฉลี่ยของของไหล (m/s^2)
V_{Meas}	ความเร็วตามจากการวัด (m/s^2)
V_T	ความเร็วลมในห้องทดสอบ (m/s^2)
V_{π}	ความเร็วลมในห้องทดสอบกรณีของเข้มข้นยาที่ใช้สำหรับติดตั้งตัวอย่างทดสอบ (m/s^2)
V_{Tr}	ความเร็วลมในห้องทดสอบกรณีติดตั้งทรงกลมทดสอบ (m/s^2)
x	ระยะทางตามแกน x (m)
y	ระยะทางตามแกน y (m)
ρ	ความหนาแน่นของของไหล (kg/m^3)
ρ_s	ความถ่วงของความผิวน้ำในglas (m)
ρ_T	ความหนาแน่นของของไหลในห้องทดสอบ (kg/m^3)
ε	ความเครียด (N/m^2)
μ	ความหนืดสัมบูรณ์ ($Pa \cdot s$)
μ_T	ความหนืดสัมบูรณ์ในห้องทดสอบ ($Pa \cdot s$)
ν	ความหนืด粘性 (m^2/s)

- [12] Doebelin, E.O. *Measurement systems application and design.* 4th ed. Singapore:McGraw - Hill, 1990.
- [13] Janna, W.S. *Introduction to fluid mechanics.* 3rd ed. USA:PWS Publishing, 1993
- [14] Mohsenin, N.N. *Physical properties of plant and animal materials.* 2 Revised and Updated Edition. USA:Grodan and Breach science publishers, 1986
- [15] Vannard, J.K. and Street, R.L. *Elementary fluid mechanics.* 6th ed. USA:John Wiley & Sons, 1982

7. เอกสารอ้างอิง

- [1] ขวัญชัย สินทิพย์สมบูรณ์ และ วิศิษฐ์ ชาตุรمان. กลศาสตร์ของไหล. กรุงเทพฯ:หจก. เอช-เอ็น การพิมพ์, 2526.
- [2] ชาญชัย เจริญรุ่น.“การวัดแรงต้านทางอากาศพลศาสตร์ของเมล็ดข้าวเปลือก”. วิทยานิพนธ์ ภาควิชาวิศวกรรมเครื่องกล คณะวิศวกรรมศาสตร์ มหาวิทยาลัยเชียงใหม่, 2544
- [3] บริษัท Wisco จำกัด. คู่มือการใช้งานเครื่อง WT95 OD95 และโปรแกรม Online Excel Datalogger. กรุงเทพฯ
- [4] สมชาย นรเศรษฐีสกาน. กลศาสตร์ของแข็ง. พิมพ์ครั้งที่ 4. กรุงเทพฯ:สำราญดิวิศวกรรมศาสตร์ คณะวิศวกรรมศาสตร์ สถาบันเทคโนโลยีพระจอมเกล้าดุสิตห้ามราชบูรณะ, 2541.
- [5] สุวรรณ บุญติพย. ไฟฟ้าอุตสาหกรรมเบื้องต้น. พิมพ์ครั้งที่ 1. กรุงเทพฯ:บ.ไดมอนด์ พรินติ้ง จำกัด, 2539.
- [6] สมพันธ์ ไชยเทพ. กลศาสตร์ของไหล. คณะวิศวกรรมศาสตร์ มหาวิทยาลัยเชียงใหม่, 2524
- [7] สมพันธ์ ไชยเทพ. อากาศพลศาสตร์เบื้องต้น. คณะวิศวกรรมศาสตร์ มหาวิทยาลัยเชียงใหม่, 2525.
- [8] สมพันธ์ ไชยเทพ. การทดลองสร้างปรับปรุงและประเมินประสิทธิภาพของอุปกรณ์ลมความเร็วต่ำ. คณะวิศวกรรมศาสตร์ มหาวิทยาลัยเชียงใหม่, 2527.
- [9] Beer, F.P. and Johnston, E.R. *Mechanics of Materials.* 2nd ed. Singapore:McGraw - Hill, 1992.
- [10] Dally, J.W. ; Riley, W.F. and McConnell K.G. *Instrumentation for Engineering Measurements.* 2nd ed. New York:John Wiley & Sons, 1993.
- [11] Daugherty, R.L. ; Franzini, J.B. and Finnemore E.J. *Fluid mechanics with engineering applications.* 8th ed. Singapore: McGraw - Hill, 1985.